

腹腔镜手术不同体位变化对呼吸力学的影响

郝冬, 张锦

■背景资料

腹腔镜手术较传统的直视手术具有创伤小、对机体内环境干扰轻、手术并发症少和死亡率低、住院时间短等优点。

郝冬, 张锦, 中国医科大学附属盛京医院麻醉科 辽宁省沈阳市 110004

郝冬, 沈阳市第一人民医院麻醉科 辽宁省沈阳市 110041

作者贡献分布: 郝冬与张锦共同完成论文; 此课题张锦提供研究思路; 研究过程由郝冬完成; 研究所用的仪器设备由中国医科大学盛京医院提供; 数据分析由郝冬统计; 本论文写作由郝冬执笔、张锦修改后完成。

通讯作者: 张锦, 教授, 110004, 辽宁省沈阳市, 中国医科大学附属盛京医院麻醉科. jinzhang_cmu2h@yahoo.com.cn

收稿日期: 2010-11-29 修回日期: 2011-01-18

接受日期: 2011-01-20 在线出版日期: 2011-02-28

5 minutes after position change (T3); 5 minutes after adjusting ventilation parameters (T4); and 5 minutes after peritoneal deflation (T5). Respiratory mechanics were analyzed using SPSS15.0 statistics software.

RESULTS: PaCO_2 and Paw at T2 in the conventional trendelenburg group were significantly higher than those in the reserve trendelenburg group (both $P < 0.05$). PaO_2 and Cpat at T2 and T3 in the conventional trendelenburg group were significantly lower than those in the reserve trendelenburg group (all $P < 0.01$).

CONCLUSION: Body position can affect respiratory parameters during laparoscopic surgery.

Key Words: Pneumoperitoneum; Body position; Respiratory mechanics; General anesthesia

Hao D, Zhang J. Impact of body position on respiratory mechanics in patients during laparoscopic surgery. Shijie Huaren Xiaohua Zazhi 2011; 19(6): 650-653

摘要

目的: 研究腹腔镜手术气腹时不同体位变化对患者动脉血二氧化碳分压(PaCO_2)、动脉血氧分压(PaO_2)、肺顺应性(Cpat)、气道压(Paw)的影响, 为术中麻醉呼吸管理提供依据。

方法: 根据体位不同分两组, 头高位组: 取头高位30-45度, 腹腔镜行胃切除术20例; 头低位组: 取头低位30-45度, 腹腔镜结肠切除术20例。全部病例采用全身麻醉。用Drager primus麻醉机监测麻醉后5 min(T0), 气腹后5 min(T1), 体位改变后5 min(T2), 呼吸参数调整后5 min(T3), 放气腹后、拔除气管插管前5 min(T4)的 Cpat , Paw ; 用Siemens Rapidlab1265动脉血气分析仪监测各时间点的 PaCO_2 , PaO_2 。用SPSS15.0统计学软件进行分析、处理。

结果: T2时头低位组 PaCO_2 、 Paw 高于头高位组(均 $P < 0.05$), PaO_2 、 Cpat 明显低于头高位组($P < 0.01$); T3时头低位组 Cpat 、 PaO_2 仍明显低于头高位组($P < 0.01$); 两组拔管前各项指标无统计学差异。

■同行评议者
蔡开琳, 副教授,
华中科技大学同济医学院附属协和医院普通外科

结论: 体位变化使患者呼吸参数发生改变, 头低位对呼吸力学的影响更为明显, 但远不及头高位。因此, 腹腔镜头低位手术时, 特别重视呼吸力学和氧分压的变化, 应加强术中呼吸管理。

关键词: 气腹; 体位变化; 呼吸力学; 全麻

郝冬, 张锦, 腹腔镜手术不同体位变化对呼吸力学的影响. 世界华人消化杂志 2011; 19(6): 650-653
<http://www.wjgnet.com/1009-3079/19/650.asp>

0 引言

腹腔镜手术较传统的直视手术具有创伤小、对机体内环境干扰轻、手术并发症和死亡率低、住院时间短等优点。同时, 腹腔镜气腹也可对患者呼吸、循环产生影响。如何纠正对呼吸力学的负面影响, 有关此报道尚少。本文通过观察气腹时体位变化对呼吸力学影响的对比, 探讨其原因, 找出解决方案, 为术中呼吸管理提供依据。

1 材料和方法

1.1 材料 根据手术体位的不同分2组, 头高位组: 行腹腔镜胃切除择期手术患者20例, 年龄40-65(平均48.3±5.1)岁; 头低位组: 行腹腔镜结肠切除择期手术患者20例, 年龄44-72(平均50.2±7.3)岁。ASA级I-II。记录麻醉后5 min, 气腹后5 min, 体位改变后5 min, 呼吸参数调整后5 min, 放气腹后、拔除气管插管前5 min的动脉血氧分压(PaO₂)、二氧化碳分压(PaCO₂)、气道压(Paw)、肺顺应性(Cpat)。

1.2 方法

1.2.1 麻醉、手术、气腹: 术前药安定注射液10 mg, 阿托品注射液0.5 mg术前30 min肌注。麻醉诱导用药: 舒芬太尼注射液0.3 μg/kg, 丙泊酚注射液1.5 mg/kg, 琥珀胆碱注射液1.5 mg/kg; 术中维持用药: 吸入七氟烷, 气体流量2 L/min, O₂:N₂O=1:1, 瑞芬太尼0.1-0.2 μg/(kg•min)持续泵入, 维库溴铵注射液间断静注。头高位组术中取头高位30-45度, 头低位组术中取头低位30-45度。气腹时应用注气压力14 mmHg, 流率4 L/min。

1.2.2 麻醉机和呼吸力学监测仪: Drager primus麻醉机, Siemens Rapidlab1265动脉血气分析仪。呼吸参数设定潮气量(VT)=体质量×8, 呼吸频率(RR)=13次/分。体位改变后5 min调整呼吸参数: VT=体质量×6、7, RR=16-18次/min。维持气腹前、呼吸参数调整后的PaCO₂为35-45 mmHg。

统计学处理 应用SPSS15.0统计学软件对所

观察数据进行统计学分析、处理。所得数据用mean±SD表示, 计量资料采用方差分析、t检验, P<0.05为显著性统计学差异。

■相关报道
国外报道腹腔镜手术并发症的发生率为0.8%-2.9%。

2 结果

2.1 PaCO₂ 麻醉后, 两组PaCO₂无统计学无差异; 气腹后, 两组PaCO₂明显增加, 头低位组由T0时的38.24±3.11增至44.80±2.41, 头高位组由T0时的37.60±2.47增至43.82±2.14; 体位改变后, 头低位组增至48.48±1.78高于头高位组(P<0.05); 呼吸参数调整后, 头低位组回落到39.82±1.82, 头高位组回落到38.92±1.62; 放气腹后, 两组PaCO₂均回落到气腹前水平(图1A)。

2.2 Paw 麻醉后, 两组Paw统计学无差异; 气腹后, 两组Paw明显增加, 头低位组由T0时的13.55±1.64增至18.65±2.01, 头高位组由麻醉后时的13.85±2.11增至20.15±3.17; 体位改变后, 头低位组增至(22.95±1.67)高于头高位组(P<0.05); 呼吸参数调整后, 头低位组回落到18.55±1.39, 头高位组回落到17.25±2.10; 放气腹后, 两组Paw均回落到气腹前水平(图1B)。

2.3 Cpat 麻醉后, 两组Cpat统计学无差异; 气腹后, 两组Cpat明显下降, 头低位组由麻醉后时的54.37±7.00降至37.84±5.60, 头高位组由麻醉后时的56.74±7.58降至39.97±8.38; 体位改变后, 头低位组降至31.50±5.05明显低于头高位组(P<0.01); 呼吸参数调整后, 头低位组略微降至29.87±4.81, 仍明显低于头高位组(P<0.01); 放气腹后, 两组Cpat均回落到气腹前水平(图1C)。

2.4 PaO₂ 吸入氧浓度为50%的情况下, 麻醉后, 两组PaO₂统计学无差异; 气腹后, 两组PaO₂明显下降, 头低位组由麻醉后时的226.39±25.74降至183.38±17.05, 头高位组由麻醉后时的232.96±28.43降至187.06±24.03; 体位改变后, 头低位组降至151.58±15.32明显低于头高位组(P<0.01); 呼吸参数调整后, 头低位组升至167.40±18.05, 仍明显低于头高位组(P<0.01); 放气腹后, 两组PaO₂均回落到气腹前水平(图1D)。

3 讨论

腹腔镜技术由于创伤小、术后恢复快、住院时间短、术后疼痛轻等优点^[1], 被越来越多的应用于外科手术。腹腔镜下胃肠道手术的优点也得到认同^[2-4], 同时也为广大患者所接受, 也是现代科技发展之必然趋势。但腹腔镜手术中有许多风险值得我们注意, 国外报道腹腔镜手术并发

■同行评价
本文对临床工作中麻醉管理具有一定的指导意义.

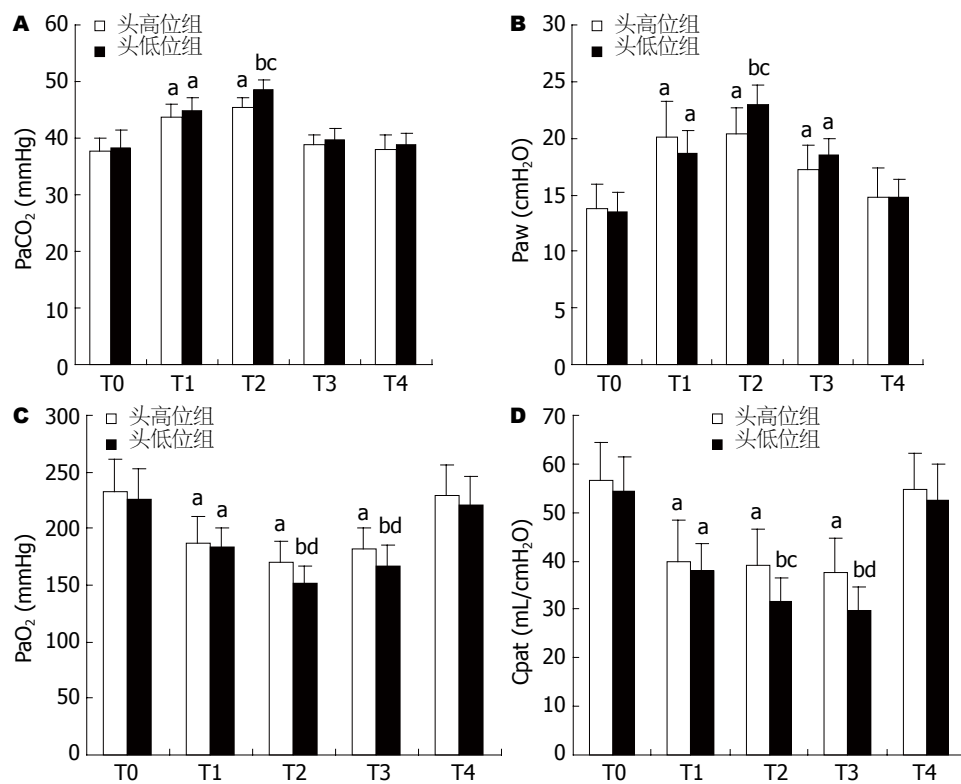


图1 腹腔镜手术不同体位变化时的 PaCO_2 、 Paw 、 Cpat 和 PaO_2 变化. A: PaCO_2 ; B: Paw ; C: PaO_2 ; D: Cpat . T0: 麻醉后5 min; T1: 气腹后5 min; T2: 体位改位后5 min; T3: 呼吸参数调整后5 min; T4: 拔除气管插管前5 min. ^a $P<0.05$, ^b $P<0.01$ vs T0; ^c $P<0.05$, ^d $P<0.01$ vs 高头组.

症的发生率为0.8%-2.9%^[5]. 如: 气体栓塞^[6]、皮下气肿^[6]、静脉血栓形成等^[7,8], 随时危及患者生命. 除此之外, 术中不同体位变化也可致使麻醉风险增加. 我们对腹腔镜下不同体位对呼吸力学的影响进行研究. 研究表明麻醉后, 两组各项指标间统计学无差异($P>0.05$); 气腹后, 两组间 PaCO_2 、 Paw 均增加($P<0.05$)且增加幅度间统计学无差异($P>0.05$), Cpat 、 PaO_2 均降低($P<0.05$), 且降低幅度间统计学无差异($P>0.05$). 而体位变化对呼吸力学有很大影响. 头高位时, PaCO_2 进一步增高($P<0.05$), Paw 也进一步增高($P<0.05$), 而 Cpat 进一步下降($P<0.05$), PaO_2 也进一步下降($P<0.05$); 头低位时, PaCO_2 进一步增高至($P<0.01$), Paw 进一步增高($P<0.01$), Cpat 进一步下降($P<0.01$), PaO_2 进一步下降($P<0.01$). 结果提示: 无论头高位还是头低位时, 气腹均可使 PaCO_2 、 Paw 进一步增高、 Cpat 、 PaO_2 进一步降低. 同时, 头低位组 PaCO_2 、 Paw 高于头高位组($P<0.05$), Cpat 、 PaO_2 明显低于头高位组($P<0.01$).

这是由于气腹使腹腔压力增加、膈肌上移使胸腔容积减小, 致使气道压增高、胸肺顺应性可减少20%-30%^[9], 引起的肺泡通气量下降, 同时心输出量下降, 死腔通气增加所导致. 本研

究结果表明头低位对呼吸力学影响更严重, 其发生机制可能与下列因素有关: (1)头低位内脏更易将膈肌向胸腔挤压, 胸腔压力进一步增加, 肺通气量进一步减少, 气道压上升, 呼吸系统顺应性进一步下降^[10-12]; (2)头低位时, 下肢静脉血回流增多, 肺血容量增加, 通气/血流失调, 造成 PaCO_2 上升、 PaO_2 下降^[13].

因气腹导致腹内压、胸内压升高, 增加潮气量只能增加胸内压力加重心肺负担, 最终引起 Paw 和 PaCO_2 增加, Cpat 下降, 肺泡舒缩功能降低, 呼吸阻力增大, 心率加速, 心排血功能降低. 因此, 必须采取减低胸腔压力的方法来纠正^[10]. 为了使两组患者肺泡通气量增加, 我们的研究采用减少原潮气量的1/8-1/4, 增加呼吸次数3-5次, 适度增加肺泡通气量的方法. 呼吸参数调整后两组的 PaCO_2 及 Paw 均降至正常范围. 因潮气量下降, 两组 Cpat 稍有下降, 但与呼吸参数改变前 Cpat 无统计学差异($P>0.05$). 可头低位组 Cpat 仍明显低于头高位组 Cpat (29.87 ± 4.81 vs 37.66 ± 7.11 , $P<0.01$), 头低位组 PaO_2 仍明显低于头高位组 PaO_2 (167.40 ± 18.05 vs 182.14 ± 19.07 , $P<0.01$).

研究结果提示头低位组 Cpat 、 PaO_2 比头高位组改变明显可能与血流改变有密切的关联.

头低位组全身血液淤积在肺, 导致肺血容量增多, 通气/流失调, 不利于气体交换, 导致体内二氧化碳蓄积, 甚至引起酸碱平衡紊乱; 肺毛细血管受酸性代谢产物的影响通透性增强, 使液体渗漏到肺间质, 滤过的液体及蛋白量超过肺淋巴引流的代偿能力时, 则出现血管外肺水储留, 使肺内压力增加, C_{pat} 下降^[14,15], 进而 PaO_2 下降。放气腹后、拔除气管插管前两组患者间 $PaCO_2$ 、 PaO_2 、 Paw 、 C_{pat} 均与气腹前指标无统计学差异。

总之, 体位变化使患者呼吸参数发生变化, 头低位对呼吸力学的影响更为明显, $PaCO_2$ 、 Paw 、明显增高, C_{pat} 、 PaO_2 明显降低; 通过呼吸参数调整, 呼吸力学得到明显改善, 但远不及头高位, 因此, 腹腔镜头低位手术时, 特别重视呼吸力学和氧分压的变化, 应加强术中呼吸管理。

4 参考文献

- 1 常旭飞, 杨璐. 不同体位二氧化碳气腹对呼吸参数的影响. 临床医学 2008; 28: 29-30
- 2 梁伟, 宁忠良, 朱志强. 腹腔镜辅助结直肠癌根治术42例临床报告. 中国临床保健杂志 2009; 12: 57-59
- 3 Lacy AM, García-Valdecasas JC, Delgado S, Castells A, Taurá P, Pique JM, Visa J. Laparoscopy-assisted colectomy versus open colectomy for treatment of non-metastatic colon cancer: a randomised trial. *Lancet* 2002; 359: 2224-2229
- 4 余佩武. 腹腔镜胃癌根治术的原则与评价. 中国普外科杂志 2000; 16: 490-492
- 5 Yao M, Tulandi T. Current status of surgical and nonsurgical management of ectopic pregnancy. *Fertil Steril* 1997; 67: 421-433
- 6 冷金花, 郎景和. 腹腔镜手术并发症的诊断与治疗. 中国现代手术学杂志 2001; 5: 69-72
- 7 Vecchio R, Cacciola E, Martino M, Cacciola RR, MacFadyen BV. Modifications of coagulation and fibrinolytic parameters in laparoscopic cholecystectomy. *Surg Endosc* 2003; 17: 428-433
- 8 Catheline JM, Capelluto E, Gaillard JL, Turner R, Champault G. Thromboembolism prophylaxis and incidence of thromboembolic complications after laparoscopic surgery. *Int J Surg Investig* 2000; 2: 41-47
- 9 齐敦益, 马正良, 曾因明. 旁气流通气监测观察腹腔镜胆囊切除术对呼吸功能的影响. 临床麻醉学杂志 2000; 16: 490-492
- 10 张锦, 李莉, 邵娟. 腹腔镜胆囊切除术气腹对呼吸力学的影响及其呼吸参数的调整. 中国内镜杂志 2005; 11: 22-24
- 11 Carry PY, Gallet D, François Y, Perdrix JP, Sayag A, Gilly F, Eberhard A, Banssillon V, Baconnier P. Respiratory mechanics during laparoscopic cholecystectomy: the effects of the abdominal wall lift. *Anesth Analg* 1998; 87: 1393-1397
- 12 Puri GD, Singh H. Ventilatory effects of laparoscopy under general anaesthesia. *Br J Anaesth* 1992; 68: 211-213
- 13 杨云丽, 麻伟青, 李琪. 腹腔镜术中体位对呼吸循环功能的影响. 临床麻醉学杂志 2006; 22: 198-200
- 14 张锦, 王庆善, 陈华. 体外循环再灌注对先天性心脏病小儿呼吸力学的影响. 中华麻醉学杂志 1999; 19: 251-252
- 15 张锦, 韩宁, 王文祥. VSD体外循环前后血液流变学变化及其对呼吸力学的影响. 临床麻醉学杂志 1998; 14: 144-146

编辑 曹丽鸥 电编 何基才

ISSN 1009-3079 (print) ISSN 2219-2859 (online) CN 14-1260/R 2011年版权归世界华人消化杂志

• 消息 •

《世界华人消化杂志》2011年开始不再收取审稿费

本刊讯 为了方便作者来稿, 保证稿件尽快公平、公正的处理, 《世界华人消化杂志》编辑部研究决定, 从2011年开始对所有来稿不再收取审稿费。审稿周期及发表周期不变。(编辑部主任: 李军亮 2011-01-01)